

I-116 ジャイロによる吊橋の耐風制振効果

正会員 本田連絡橋公団(新東大院) ○ 村田正信
正会員 東京大学 工学部 伊藤 学

1. 緒 言

吊橋のようにスレンダーな構造物が風によって破壊的振動を生ずることを防ぐには、剛性の増加、空気力学的に安価な断面の採用というような手段がとられてはいる。しかし、いずれにせよ生起速度をきわめて低い低速風を考慮するがために、構造物としての機能、経済性に大きな制約を加えるという点は問題とすることは足る。一方、振動減衰性を増大するよりも一つの手段ではあるが、飛揚風速を大幅に高めることに十分な効果を手に入らせる方法はまだ確立化されていない。

本研究は、ジャイロを吊橋に設置することによって上述の破壊的振動を積極的に抑制しうることを期待して、風洞模型実験および理論的検討を行なったものである。現在のことごろ吊橋のねじれフロッターノミを対象とし、基礎的研究の域を出でないが、かなりの効果が期待できようである。

ジャイロ装置については東大機械工学科の三浦宏文助教授より種々教示を賜り、またこの手法に関する前川田工業の川田忠樹氏から示唆を受けたことがあり、両氏には厚く謝意を表したい。

2. ジャイロと吊橋の連成自由振動

回転運動変位 φ ならびに構造系にジャイロを取り付ける場合、 φ に直角方向のジャイロ軸の回転角を θ 、ジャイロ回転による旋轉角運動量(ジャイロローターの回転角速度と慣性モーメントの積)を H とすれば、ジャイロには $-H\dot{\theta}$ なるトルクが、また構造系には $+H\dot{\theta}$ なるトルクが外力として作用する。 H と $\dot{\theta}$ のベクトル積をジャイロモーメントと称す。したがって、ねじれ自由振動を行なう吊橋の x なる位置にジャイロを設置すれば、運動方程式は次のようになる。

$$\left. \begin{aligned} \text{吊橋: } & \textcircled{D} \frac{\partial^2 \varphi}{\partial t^2} + EC_W \frac{\partial^4 \varphi}{\partial x^4} - (GK + \frac{H_w b^2}{4}) \frac{\partial^2 \varphi}{\partial x^2} + (\frac{8f}{l^2})^2 \frac{E_c A_c}{L_E} \int_0^L \varphi dx - H\dot{\theta} \delta(x-x_0) = 0 \\ \text{ジャイロ: } & I_g \ddot{\theta} + K_g \dot{\theta} + H\dot{\varphi} = 0 \end{aligned} \right\} \quad (1)$$

ここで I_g : θ 軸周りのジャイロの慣性モーメント、 K_g : ジャイロの復元モーメント係数、 \textcircled{D} : 吊橋の極慣性モーメント、 EC_W : 補剛ゲルの反剛性、 GK : 補剛ゲルのねじれ剛性、 $E_c A_c$: ケーブルの伸び剛性、 H_w : ケーブルの死荷重水平張力、 b : ケーブル間隔、 f : ケーブル垂距、 l : 吊橋支向長、 L_E : ケーブルについて定義された長さ、 $\delta(x)$: デルタ関数である。符号は、 $\dot{\theta}$ が正のとき $H\dot{\theta}$ は θ を増加させた方向に、逆に $H\dot{\theta}$ は $\dot{\theta}$ が正のときジャイロ回転 θ を減少させた方向に働くとして定めた。式(1)のように、構造系とジャイロは一般に連成振動を行なう。

$\varphi(x,t) = \sum_n \varphi_n \sin(n\pi x/l) \cdot \psi(t)$ を比較関数として Galerkin 法を式(1)に適用すれば、 ψ と θ に関する次式が導かれ、これがより運動方程式が導かれた。

$$\left. \begin{aligned} [\textcircled{D} \ddot{\varphi}_n + K_n \ddot{\theta}] \varphi_n + \frac{D}{n} \sum_f \frac{\varphi_f}{f} \ddot{\theta} - H B_n \dot{\theta} &= 0 \\ I_g \ddot{\theta} + K_g \dot{\theta} + H \sum_f \varphi_f \sin \frac{f\pi x_0}{l} \cdot \ddot{\theta} &= 0 \end{aligned} \right\} \quad (2)$$

$$\text{ここで } K_n = \left(\frac{n\pi}{L}\right)^2 [EC_n \left(\frac{n\pi}{L}\right)^2 + GK + \frac{Hub^2}{4}], \quad D = \frac{128 f^2 b^2}{\pi^2 L^3} \frac{EcAc}{L_E}, \quad B_n = \frac{2}{L} \sin \frac{n\pi x_0}{L}$$

式(2)の第1式の左辺第2項はループ偶数のときは0となり、さらに $H=0$ (ジャイロが作用しない) または $B_n=0$ (ジャイロが構造系の振動モードの節点にある) のとき、このような偶数次モードは他のモードと独立であるが、その他の場合はジャイロ作用により構造系の固有振動数およびモードは変化する。それによってジャイロの固有振動数も変化する。

3.ねじれフリッターに対するジャイロの影響

簡単のため風速 V の風の中におかれた構造系を、円振動数 Ω で振動する1自由度系における。これにジャイロが設置され作用したときの運動方程式は複素表示を用いて

$$\begin{aligned} \text{構造系: } & \ddot{\varphi} + g_p w_p \dot{\varphi} + w_p^2 \varphi - \frac{H}{I_p} \dot{\theta} = \frac{\Omega^2}{V} (M_{pR} + i M_{pI}) \varphi \\ \text{ジャイロ: } & \ddot{\theta} + g_g w_g \dot{\theta} + w_g^2 \theta + \frac{H}{I_g} \dot{\varphi} = 0 \end{aligned} \quad \left. \right\} \quad (3)$$

第1式の右辺は非定常空力モーメントの項で、 ρ : 室温密度、 b : 構造物の半幅、 M_{pR}, M_{pI} : これら変位、速度と同位相の空気力成分で、標準振動数 $k = \Omega b/V$ と断面形状などにより定まる。また g_p, g_g : それぞれ構造系、ジャイロの減衰係数、 $w_p, w_g (= \sqrt{k_g/I_g})$: それぞれ構造系、ジャイロの固有振動数、 $\nu = \Omega / (\pi F b^4)$ である。

臨界能率で $\varphi = \varphi_0 e^{i\omega t}$, $\theta = \theta_0 e^{i(\omega t + \delta)}$ とするとき、式(3)で $\varphi_0 = \theta_0 = 0$ での解が存在するための条件は

$$\Delta = \begin{vmatrix} (w_p^2 - \Omega^2 - \frac{M_{pR}}{V} \Omega) + i\Omega(g_p w_p - \frac{M_{pI}}{V} \Omega) & -i\Omega \frac{H}{I_p} \\ i\Omega \frac{H}{I_g} & w_g^2 - \Omega^2 + i\Omega g_g w_g \end{vmatrix} = 0 \quad (4)$$

これは $\Delta = \Delta_R + i\Delta_I = 0$ の形になっていきるので、 $\Delta_R = 0$ と $\Delta_I = 0$ の2つの条件、すなはち

$$\begin{aligned} (g_p \sqrt{X} - \frac{M_{pI}}{V}) \{ (ZX-1)^2 + g_g^2 ZX \} + \mu g_g \sqrt{Z} X^{\frac{3}{2}} &= 0 \\ (X-1 - \frac{M_{pR}}{V}) \{ (ZX-1)^2 + g_g^2 ZX \} - \mu (ZX-1) X &= 0 \end{aligned} \quad \left. \right\} \quad (5)$$

が満足されなければならぬ。ここで $X = (w_p/\Omega)^2$, $Z = (w_g/w_p)^2$, $\mu = H^2/(I_g \Omega w_p^2)$ 。
 M_{pR}, M_{pI} は $k = \Omega b/V$ の関数であるから、上の両式よりねじれフリッターが発生するときの限界風速 V_F およびそのさいの振動数 Ω が定まる。

式(5)の第1式は減衰を評価する式で、左辺の値が負になるとねじれフリッター(自励振動)の発生を意味する。したがって、正なる最終項の存在はジャイロによるフリッターの抑制効果を示す。

4. 風洞模型実験

風洞模型として支間長 16 m の單経向補剛吊橋の全橋模型を用いた。補剛部には高さと幅の比 0.2 を有する箱形断面で、ジャイロを設置しない場合、風速 4.8 m/sec で対称1次モードのねじれフリッターを生ずる。ねじれ固有振動数は1次が 2.94 Hz, 2次が 3.61 Hz であり、対数減衰率は1次モードに対して 0.038 であった。

ジャイロ装置は図-1 に示すごとく、上記補剛部に取付けて設計され、重量は約 1.5 kg

で吊橋總重量の約 $1/60$ 、ジャイロのローターは外部から送られる圧縮空気を吹きつけて回転し、その最大回転数は5000 rpm程度である。ジャイロ本体はバネを介して固定され、その固有振動数は3~4 Hzの間に置いた。

5. 模型の固有振動性状に対する数値解析

ジャイロの位置 $\lambda = x_0/l$ 、ジャイロと吊橋の固有振動数比 $\lambda = \omega_2/\omega_{n0}$ 、ジャイロの回転速度 f (rpm)、ジャイロの施軸角運動量 $\bar{\mu} = H^2/(I_2 \oplus \omega_{n0} l/2)$ が吊橋の固有振動数にいかに影響するかを、模型の諸元を用いて検討した。ここに ω_{n0} はジャイロが立たないときの吊橋の i 次固有円振動数、後出の ω_n はジャイロ作用下の吊橋の i 次固有円振動数である。

(1) 吊橋の固有振動数

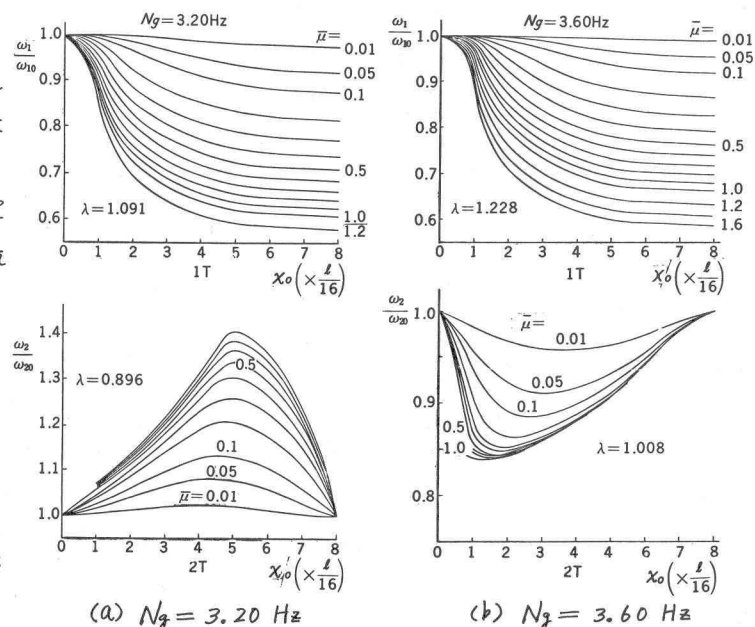
a) ジャイロ設置点の影響

図-2 に示すように、1次モードの場合にはモードの腹の位置附近にジャイロを設置したとき、しかも $\bar{\mu}$ の大きいほど影響は大きくなるが、2次モードでは $\bar{\mu}$ が増すとともに影響の大きいジャイロ位置はジャイロの固有振動数 (N_g) が吊橋のそれより低いときはスパン中央より、逆のときは端部よりに移動する。

b) ジャイロの固有振動数の影響

c) ジャイロと構造系の固有振動

数を近く置いと構造物の振動数に対するジャイロの影響は敏感となり、 $\bar{\mu}$ の大きいほど顕著となる。



(a) $N_g = 3.20$ Hz

(b) $N_g = 3.60$ Hz

図-2 ジャイロ設置点による振動数の変化

c) ジャイロの回転数の影響

図-2 に示したように、 $\omega_2 > \omega_{n0}$ のとき $\bar{\mu}$ の増加とともに振動数は低下し、 $\omega_2 < \omega_{n0}$ では逆の傾向

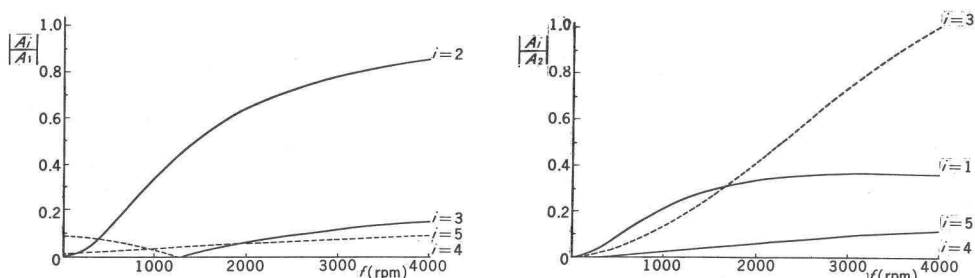


図-3 ジャイロによる振幅比の変化 ($\lambda = 1/4$, $N_g = 3.20$ Hz)

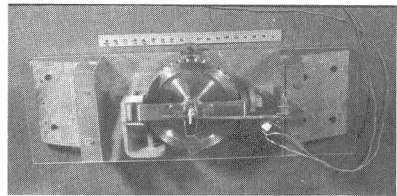


図-1 ジャイロ模型

を示す。場合により死の増加の影響は頭打ちとなる。ジャイロの固有振動数もジャイロの作用により吊橋の振動と連成して変化するが、その影響は一般に小さい。

(2) 吊橋の振動モード

ジャイロの回転による吊橋の2次モードの振幅と1次振動の振幅との比 A_2/A_1 の変化の例を図-3に示す。 β は 1 あるいは 2 とした。図中実線はこの比が正、破線は負の場合に対応する。ジャイロの作用により対称モードと逆対称モードさえも連成することがあり、連成の状況はジャイロの設置点、回転数に応じて異なる。

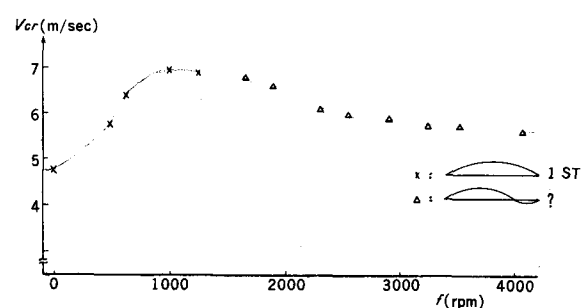
6. 風洞実験の結果

もっとも影響の顕著であった例を図-4に示す。ジャイロ回転数の増加とともにフランジャー飛振風速は上昇し、約 1000 rpm で 46% 増へ及ぶ。尤も以上回転数を増すと飛振風速はかえって漸減する。これはジャイロによる減衰効果を上まわる、振動数低下による空気力係数の増大によるものと思われる。これらの一傾向は 3. で述べた理論の結果と定性的にはよく一致するが、数値上の評価についてはさらに検討を要する。飛振風速が最大になる領域での振動モードは図-4(a)に付記したように、ジャイロ設置点に節のあるまったく新しい波形に変る。こゝときの振動数はこの波形と1次振動波形が連成したものとした場合[図-4(b)の破線]とよく一致する。

ジャイロをスパン中央に設置した場合、飛振風速の変化の状況は図-4(a)に似るが、 $N_g = 3.95$ Hz のとき飛振風速の上昇は $f \approx 2500$ rpm で約 28% ほどとなり、こゝときはフランジャーモードは変化しない。しかし $N_g = 3.07$ Hz の場合、 $f \approx 1400$ rpm で約 40% の飛振風速上昇がみられ、2 次モードが発生しやすくなることが注目された。

7. 結論

- (1) 風によって誘起される吊橋の振動をジャイロによって抑制することは可能と思われる。
 - (2) ジャイロの回転数をむやみに上げることは必要ではなく、もっとも効果の大きい最適回転数が存在する。ジャイロの設置点、性能についても同様であり、構造系の固有振動性状などに考慮がある。
 - (3) ジャイロの旋轉軸まわりの減衰性を大きくしておくことは、ジャイロによる制振効果を高めるのに有效である。
 - (4) ジャイロの作用によって構造系の固有振動性状そのものも変化する。
- 今後は実用化の可能性についても検討することが望まれる。



(a) フランジャー限界風速の変化

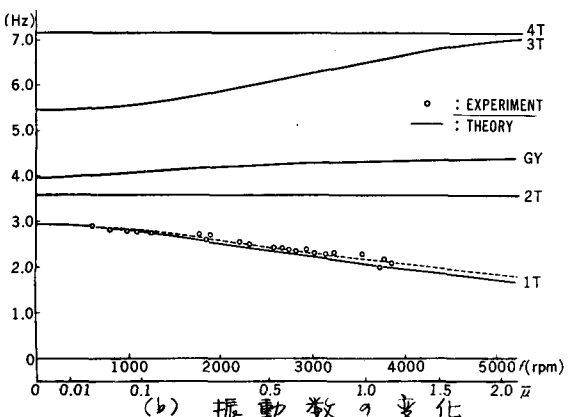


図-4 風洞実験結果の例 [$\zeta = 1/4$, $N_g = 3.36$ Hz]

力係数の増大によるものと思われる。これらの傾向は 3. で述べた理論の結果と定性的にはよく一致するが、数値上の評価についてはさらに検討を要する。飛振風速が最大になる領域での振動モードは図-4(a)に付記したように、ジャイロ設置点に節のあるまったく新しい波形に変る。こゝときの振動数はこの波形と1次振動波形が連成したものとした場合[図-4(b)の破線]とよく一致する。

ジャイロをスパン中央に設置した場合、飛振風速の変化の状況は図-4(a)に似るが、 $N_g = 3.95$ Hz のとき飛振風速の上昇は $f \approx 2500$ rpm で約 28% ほどとなり、こゝときはフランジャーモードは変化しない。しかし $N_g = 3.07$ Hz の場合、 $f \approx 1400$ rpm で約 40% の飛振風速上昇がみられ、2 次モードが発生しやすくなることが注目された。

7. 結論

- (1) 風によって誘起される吊橋の振動をジャイロによって抑制することは可能と思われる。
 - (2) ジャイロの回転数をむやみに上げることは必要ではなく、もっとも効果の大きい最適回転数が存在する。ジャイロの設置点、性能についても同様であり、構造系の固有振動性状などに考慮がある。
 - (3) ジャイロの旋轉軸まわりの減衰性を大きくしておくことは、ジャイロによる制振効果を高めるのに有效である。
 - (4) ジャイロの作用によって構造系の固有振動性状そのものも変化する。
- 今後は実用化の可能性についても検討することが望まれる。